

پژوهشگاه مواد و انرژی

پایان‌نامه کارشناسی ارشد رشته نانو مواد

موضوع

سنتر مکانیکی-شیمیایی ذرات اکسید نیکل نانوساختار و

بررسی تاثیر پارامترهای موثر بر سنتر و خواص آنها

استاد راهنما(استادان راهنما):

دکترامیر علی یوزباشی

دکتر کامران احمدی

نگارنده:

مینا قلی زاده

سال تحصیلی ۱۳۹۱-۱۳۹۲

الله زمان

تأییدیه هیات داوران

(برای پایان نامه)

اعضای هیئت داوران، نسخه نهائی پایان نامه خانم: مینا قلی زاده

را با عنوان: سنتز مکانیکی-شیمیایی نانوذرات اکسیدنیکل و بررسی پارامترهای موثر روی خواص نوری

از نظر فرم و محتوی بررسی نموده و پذیرش آن را برای تکمیل درجه کارشناسی ارشد تأییدمی کند.

امضاء	رتبه علمی	نام و نام خانوادگی	اعضای هیئت داوران
	دکترا	امیرعلی بوزباشی	۱- استاد راهنما
	دکترا	کامران احمدی	۲- استاد راهنما
			۳- استاد ممتحن
			۴- نماینده تحصیلات تکمیلی

تقدیم

به پدر و مادرم به پاس تمام زحمات و از خود گذشتگیها

و به همسر و فرزندم به پاس صبر و راهنماییها

تشکر و قدردانی

سپاس خداوندی را که سخنوران از ستودن او عاجزند و حسابگران از شمارش نعمت‌های او ناتوان و تلاشگران از ادای حق او درمانده‌اند. خدایی که افکار ژرف اندیش، ذات او را درک نمی‌کنند و دست غواصان علوم به او نخواهد رسید.

از استاد گرانقدر جناب آقای دکتر امیرعلی یوزبashi ، به پاس زحمات بی دریغ و در اختیار قرار دادن تجربیات ارزشمندانشان سپاسگذارم.

از زحمات مسئولین و کارمندان آزمایشگاه رشد بلور، کمال تشکر و قدردانی را دارم.

از زحمات مسئولین در آزمایشگاه XRD، بخش آسیاب، آزمایشگاه uv ، آزمایشگاه آنالیز حرارتی و PL، آزمایشگاه TEM و آزمایشگاه آنالیز FT-IR نهایت تشکر را دارم.

از کارکنان محترم کتابخانه بی نهایت سپاسگذارم.

از کارمندان و مسئولین تحصیلات تكمیلی کمال قدردانی را دارم.

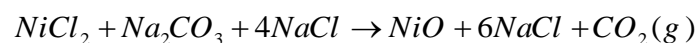
حق تالیف/گردآوری و تحقیق

این پژوهه تحقیقاتی به شماره شناسه ۴۷۱۳۹۱۰۵۰ در پژوهشگاه مواد انرژی به ثبت رسیده است و کلیه دستاوردهای تحقیقاتی شامل نتایج نظری، نتایج علمی و عملی، دانش فنی و سایر موارد مربوط به این پژوهه متعلق به پژوهشگاه مواد و انرژی می باشد. بهره برداری از نتایج پژوهه برای موسسات دولتی و غیر دولتی با مجوز پژوهشگاه مواد و انرژی و درج نام پژوهشگاه مواد و انرژی امکان پذیر است.

چکیده

سنتز نانوذرات مواد گوناگون از طریق روش های ساده وارزان مورد توجه بسیاری از محققین قرار گرفته است و تلاش های زیادی در این زمینه در جریان است . روش مکانیکی شیمیایی یکی از این موارد است که با استفاده از آسیاب مکانیکی مخلوطی از واکنشگرهای مناسب ، نانوذرات ترکیب موردنظر بطور مستقیم و یا از طریق تهیه نانوذرات یک ماده واسطه و عملیات حرارتی متعاقب آن ، تهیه می شود. در کار تحقیقاتی حاضر ، که عنوان اولین تلاش ها در این زمینه ، سنتز نانوذرات اکسید نیکل ، که کاربردهای بسیار متنوعی در زمینه های گوناگون صنعتی دارد، به روش مکانیکی شیمیایی مورد تحقیق قرار گرفت. هدف از کار در این زمینه علاوه بر ارزیابی این روش در سنتز نانوذرات اکسید نیکل ، مطالعه و بررسی روند انجام واکنش ها از طریق شناسایی محصولات واسطه طی عملیات مختلف ، که تقریبا برای اولین بار انجام می گیرد، می باشد.

لذا بجای بررسی تاثیر پارامترهای گوناگون متداول بیشتر سعی شد تا تاثیر عملیات مختلف صورت گرفته مانند آسیاب ، شستشو و عملیات حرارتی و ترتیب آنها در مسیر فرآیند سنتز مکانیکی شیمیایی، مورد مطالعه واقع شود تا از این طریق ضمن انتخاب صحیح ترتیب عملیات و شناسایی محصولات واسطه مسیر واکنش ها بسوی محصول نهایی یعنی اکسید نیکل مشخص شود. این کار با استفاده از دو مسیر واکنشی متفاوت زیر:



صورت گرفت. $NaCl$ در هر دو واکنش فوق عنوان رقیق کننده و عامل جلوگیری از اگلموراسیون ذرات ، استفاده شده است. محصولات واکنش فوق در هر مرحله با استفاده از روش های UV-VIS (طیف سنجی فرابنفش) و TEM و XRD و TG-DSC و IR و SEM و AAS تحت آنالیز و شناسایی قرار گرفتند.

نتایج نشان داد که طی مسیر اول ، واکنش شیمیایی صورت گرفته و هیدروکسید نیکل عنوان محصول نهایی تشکیل می شود ، در صورتی که در مسیر دوم ، انرژی آسیاب عمدتاً صرف ریز کردن ذرات واکنشگر

اصلی یعنی هیدروکسید نیکل و به تعبیری فعال سازی آن می شود. در هر دو مورد فوق ، عملیات حرارتی محصولات آسیاب مکانیکی، عنوان مرحله نهایی، منجر به سنتز نانوذرات اکسید نیکل گردید. فاز هیدروکسید نیکل بدست آمده از مسیر واکنشی اول ، عمدتاً از نوع $\alpha-Ni(OH)_2$ که از نظر ساختار کریستالی دارای نظم بیشتری می باشد و بمقدار جزئی فاز $\beta-Ni(OH)_2$ که اصولاً عنوان فاز فعال ، ناپایدار و از نظر ساختاری نامنظمتر هیدروکسید نیکل شناخته شده است ، بود.

در صورتیکه از مسیر واکنشی دوم ترکیبی از فاز β - α Ni(OH)_2 بعنوان فاز اصلی و فاز فرعی α Ni(OH)_2 بطور مشخص حاصل شد.

زمان آسیاب پس از نیم ساعت تاثیر قابل توجهی در اندازه کریستالیت ها می محصول نهایی یعنی اکسید نیکل، در هر دو واکنش فوق نداشت و تقریبا در محدوده ۱۰-۸ نانومتر برای واکنش اول و ۱۱-۹ نانومتر برای واکنش دوم بدست آمد. نکته جالب توجه در این کار توزیع یکنواخت اندازه محصولات اکسید نیکل از هر دو روش است که بوضوح از طریق مطالعه TEM نمونه ها قابل مشاهده بود.

بررسی تاثیر ترتیب شستشو و عملیات حرارتی بر اندازه نانوذرات اکسید نیکل نشان داد که جداسازی عامل رقیق کننده یعنی کلرید سدیم قبل از عملیات حرارتی منجر به درشت تر شدن ذرات نسبت به حالتی که عملیات حرارتی با حضور عامل رقیق کننده انجام شده است، می شود.

در نهایت با بررسی نتایج بدست آمده که اکثر آنها برای اولین بار گزارش می شود، نتیجه گیری می شود که روش مکانیکی شیمیایی با استفاده از مسیرهای واکنشی ذکر شده، قابلیت تولید نانوذرات اکسید نیکل کوچکتر از ۱۰ نانومتر با توزیع یکنواخت ذرات را دارد که با توجه به سادگی و هزینه های پائین تولید از این روش، از اهمیت بسزایی برخوردار می باشد. در پایان ذکر این نکته بسیار ضروری است که مشاهده فاز β - α Ni(OH)_2 در محصولات بدست آمده از مسیر دوم، از اهمیت زیادی برخوردار است چرا که این ماده قابلیت های زیادی را بعنوان ماده فعال واسطه در بسیاری از فرآیندهای زیربسط بخصوص باتری ها دارد.

کلید واژه: سنتر مکانیکی-شیمیایی-نانوذرات اکسیدنیکل-عملیات حرارتی-طیف سنجی فرا بنفش

فهرست مطالب

۱۱.....	فصل ۱ - مقدمه
۱۱.....	۱-۱ - پیشگفتار.....
۱۶.....	فصل ۲ - مروری بر منابع.....
۱۶.....	۱-۲ - فرآیند مکانیکی-شیمیایی.....
۱۹.....	۱-۱-۲ - عوامل موثر بر فرآیند.....
۱۹.....	۱-۱-۱-۲ - نوع مواد اولیه.....
۲۰.....	۱-۱-۱-۲ - افزودن مواد رقیق کننده.....
۲۰.....	۱-۱-۳ - زمان آسیاب.....
۲۲.....	۱-۱-۴ - سرعت چرخش آسیاب.....
۲۳.....	۱-۱-۵ - اندازه گلوله های آسیاب.....
۲۳.....	۱-۱-۶ - شرایط عملیات حرارتی.....
۲۴.....	۱-۱-۷ - مزایا و معایب فرآیند.....
۳۰.....	۱-۱-۸ - کاربردها.....
۳۱.....	۲-۱ - نانوذرات سنتز شده با فرآیندمکانیکی و مکانیکی-شیمیایی.....
۳۱.....	۲-۱-۱ - نانوذرات فلزی.....
۳۲.....	۲-۱-۲ - نانوذرات اکسیدی.....
۳۵.....	۲-۲ - اهمیت و کاربردهای اکسید نیکل.....
۳۵.....	۲-۲-۱ - ساختار کریستالی و خواص فیزیکی اکسید نیکل.....
۳۷.....	۲-۲-۲ - کاربردها و واکنش ها.....
۳۹.....	۲-۲-۳ - روشهای متداول سنتز نانوذرات اکسیدنیکل.....
۳۹.....	۲-۳ - روش هیدروترمال.....
۴۰.....	۲-۴ - روش نمک مذاب.....
۴۱.....	۲-۴-۱ - روش سل-ژل.....
۴۲.....	۲-۴-۲ - روش سونوشیمی.....
۴۵.....	۲-۴-۳ - روش رسوب دهی شیمیایی:.....
۴۶.....	۲-۴-۴ - روش مکانیکی-شیمیایی در سنتز نانوذرات:.....
۴۶.....	۲-۴-۵ - سنتز نانوذرات اکسیدروی با روش مکانیکی-شیمیایی در دو مرحله.....
۴۷.....	۲-۴-۶ - تاثیر دمای عملیات حرارتی روی خصوصیات نوری نانوذرات اکسیدروی
۴۹.....	۲-۴-۷ - محاسبه انرژی باند ممنوعه و سایز نانوذرات با منحنی جذب و عبور UV

۵۴	تاثیر سرعت آسیاب روی خصوصیات نانوذرات اکسیدروی	•
۵۷	تاثیر ترتیب انجام مراحل در سایز و خصوصیات نوری نانوذرات اکسیدروی	•
۵۹	- سنتز نانوذرات اکسیدروی با روش مکانیکی-شیمیایی در یک مرحله	۲-۶-۴-۲
۶۰	- روش مکانیکی-شیمیایی در سنتز نانوذرات اکسیدنیکل	۲-۵
۶۱	فصل ۳ - فعالیتهای تجربی	
۱-۳	- فرآیند اول سنتز نانوذرات اکسید نیکل به روش واکنش مکانیکی شیمیایی با مواد اولیه NiCl_2	
۶۱ Na_2CO_3 و NaCl	
۶۱ مواد اولیه	-۱-۱-۳
۶۱ تجهیزات	-۲-۱-۳
۶۲ کد نمونه ها	-۳-۱-۳
۶۲ عملیات حرارتی نمونه ها	-۴-۱-۳
۶۳ شستشوی نمونه ها	-۵-۱-۳
۶۳ تکنیک های آنالیزو شناسایی ساختار نمونه ها	-۶-۱-۳
۶۳ XRD - آنالیز	-۱-۶-۱-۳
۶۳ SEM - آنالیز	-۲-۶-۱-۳
۶۴ TEM - آنالیز	3-1-6-3-
۶۴ STA - آنالیز	-۴-۶-۱-۳
۶۴ آنالیز طیف سنجی جذب اتمی AAS	-۵-۶-۱-۳
۶۴ آنالیز FT-IR نمونه ها	-۶-۶-۱-۳
۶۵ آنالیز طیف سنجی فرابنفش (UV-vis)	-۷-۶-۱-۳
۶۵	- فلوچارت مراحل سنتز مکانیکی شیمیایی اکسید نیکل با استفاده از واکنشگرهای NiCl_2 و NaCl	-۸-۶-۱-۳
۶۶ Na_2CO_3	
۶۶	- فرآیند دوم سنتز نانوذرات اکسید نیکل به روش آسیاب مکانیکی با مواد اولیه Ni(OH)_2 و NaCl	-۲-۳
۶۶ مواد اولیه	-۱-۲-۳
۶۶ روش انجام آسیاب و کد نمونه ها	3-2-2-
۶۷ عملیات حرارتی نمونه ها	-۳-۲-۳
۶۷ شستشوی و خشک کردن نمونه ها	-۴-۲-۳
۶۸ تکنیک های آنالیز و شناسایی نمونه ها	-۵-۲-۳
۶۸	- فلوچارت مراحل سنتز مکانیکی شیمیایی اکسید نیکل با استفاده از واکنشگرهای Ni(OH)_2 و NaCl	3-2-6-

فصل ۴ - ارائه نتایج و بحث

- ۶۹..... 4-1- نتایج روش اول جهت سنتز مکانیکی شیمیایی NiO با مواد اولیه NaCl و Na_2CO_3 ۶۹.
- ۶۹..... ۴-۱-۱- نتایج روش اول سری a (نمونه های روش اول در زمان های آسیاب ۱/۲ و ۱ و ۳ و ۶ ساعت) ۶۹.
- ۶۹..... ۴-۱-۱-۱- XRD نمونه ها پس از آسیاب ۴
- ۷۰..... ۴-۱-۱-۲- XRD نمونه ها پس از شستشو و خشک کردن ۴
- ۷۱..... ۴-۱-۱-۳- XRD نمونه ها پس از عملیات حرارتی ۴
- ۷۵..... ۴-۱-۱-۴- تعیین سایز کریستالیت ها پس از عملیات حرارتی با روش ریتولد ۴
- ۷۷..... ۴-۱-۱-۵- مقایسه ترتیب انجام مراحل عملیات حرارتی و شستشو برای نمونه a ۴
- ۷۸..... ۴-۱-۱-۶- طیف سنجی اتمی جذبی عناصر (AAS) نمونه های سری a (نمونه های روش اول پس از آسیاب در زمان های ۱/۲ و ۱ و ۳ و ۶ ساعت و شستشو) ۴
- ۷۸..... ۴-۱-۱-۷- XRD نمونه w4 (نمونه روش اول پس از آسیاب در زمان ۶ ساعت و شستشو) ۴
- ۷۹..... ۱۱-۴- STA نمونه w4 (نمونه روش اول پس از آسیاب در زمان ۶ ساعت و شستشو) ۴
- ۷۹..... ۴-۱-۱-۸- آنالیز IR نمونه های سری a (نمونه های روش اول پس از آسیاب در زمان های ۱/۲ و ۱ و ۳ و ۶ ساعت و شستشو) ۴
- ۸۷..... ۴-۱-۱-۹- تصاویر SEM نمونه w4 (نمونه روش اول پس از آسیاب در زمان ۶ ساعت و شستشو) ۴
- ۸۸..... ۴-۱-۱-۱۰- تصاویر TEM نمونه a (نمونه روش اول پس از آسیاب در زمان ۶ ساعت و عملیات حرارتی و شستشو) ۴
- ۸۹..... ۱۱-۱-۱-۱۱- مشاهدات جذب و عبور uv ۴
- ۹۱..... ۱۲-۱-۱-۱۲- محاسبه انرژی باند منوعه نمونه های سری a (نمونه های روش اول پس از آسیاب در زمان های ۱/۲ و ۱ و ۳ و ۶ ساعت و عملیات حرارتی و شستشو) ۴
- ۹۴..... ۲-۱-۱-۱۲- نتایج روش دوم با مواد اولیه NaCl و Ni(OH)_2 ۴
- ۹۴..... ۴-۱-۲-۱- XRD نمونه های سری b (نمونه های روش دوم پس از آسیاب در زمان های ۱/۲ و ۱ و ۳ و ۶ ساعت) ۴
- ۹۵..... ۲-۲-۱-۱۳- XRD نمونه ها پس از شستشو و خشک کردن ۴
- ۹۷..... ۳-۲-۱-۱۴- XRD نمونه ها پس از عملیات حرارتی ۴
- ۱۰۱..... ۴-۱-۲-۴- مقایسه ترتیب انجام مراحل عملیات حرارتی و شستشو برای نمونه b ۴
- ۱۰۲..... ۴-۲-۱-۱۵- تعیین سایز اندازه کریستالیت ها پس از عملیات حرارتی و پس از شستشو با روش ریتولد ۴
- ۱۰۳..... ۶-۲-۱-۱۶- STA نمونه b (نمونه a) p (نمونه b) پس از آسیاب و شستشو ۴
- ۱۰۴..... ۷-۲-۱-۱۷- طیف سنجی اتمی جذبی عناصر (AAS) نمونه های سری b (نمونه های روش دوم پس از آسیاب در زمان های ۱/۲ و ۱ و ۳ و ۶ ساعت و شستشو) و نمونه Ni(OH)_2 سنتز شده ۴
- ۱۰۵..... ۸-۲-۱-۱۸- آنالیز IR نمونه های سری b (نمونه های روش دوم پس از آسیاب در زمان های ۱/۲ و ۱ و ۳ و ۶ ساعت و شستشو) ۴
- ۱۱۲..... ۹-۲-۱-۱۹- تصاویر SEM نمونه a (نمونه روش دوم پس از آسیاب در زمان ۶ ساعت و شستشو) ۴

۱۱۳.....	تصاویر TEM نمونه b4 (نمونه روش دوم پس از آسیاب در زمان ۶ ساعت و عملیات حرارتی و شستشو)	۴-۱-۲-۱۰-
۱۱۴.....	مطالعه خواص نوری.....	-۳-۱-۴
۱۱۴.....	جذب و عبور uv.....	۱-۳-۱-۴
۱۱۴.....	تأثیر سایز روی انرژی باند ممنوعه.....	-۲-۳-۱-۴
۱۱۶.....	محاسبه انرژی باند ممنوعه نمونهای سری b (نمونه های روش دوم پس از آسیاب در زمان های ۱/۲ و ۱ و ۳ و ۶ ساعت و عملیات حرارتی و شستشو)	-۳-۳-۱-۴
۱۲۰.....	نتیجه گیری و پیشنهادات.....	فصل ۵ - نتیجه گیری و پیشنهادات
۱۲۰.....	نتیجه گیری.....	-۱-۵
۱۲۰.....	پیشنهادات.....	-۲-۵
۱۲۱.....	فهرست مراجع	
۱۲۴.....	واژه نامه فارسی به انگلیسی	
۱۲۶.....	واژه نامه انگلیسی به فارسی	

فهرست جدول‌ها

صفحه

عنوان

جدول ۱-۱ : طبقه بندی فرآیندهای تولید نانومواد.....	۱۳
جدول ۱-۲ : مقادیرهیدروژن، اکسیژن و کربن حاصل از تجزیه عوامل مختلف کنترل کننده فرآیند (به ازای هرگرم).....	۲۹
جدول ۲-۱ : نمونه هایی از نانوذرات تولید شده به روش مکانیکی و شرایط فرآوری آنها.....	۳۰
جدول ۳-۱ : نمونه واکنشهای مکانیکی شیمیایی و تغییرات آنتالپی همراه آن.....	۳۱
جدول ۴-۱ : نمونه واکنشهای مکانیکی-شیمیایی.....	۳۲
جدول ۵-۱ : خواص فیزیکی اکسیدنیکل(بونسنیت)	۳۶
جدول ۶-۱ : آماده سازی نانوذرات ZnO با کلسینه شدن پیش ماده در دماهای مختلف به مدت ۳۰ دقیقه.....	۴۸
جدول ۷-۱ : مقایسه روشهای سنتز نانوذرات اکسیدروی به روش مکانیکی - شیمیایی	Error! Bookmark not defined.
جدول ۱-۲ : کدنمونه های سنتز شده در روش اول سنتز نانوذرات اکسیدنیکل.....	۶۲
جدول ۲-۲ : کد نمونه های نانوذرات اکسید نیکل سنتز شده با روش دوم آسیاب مکانیکی.....	۶۷
جدول ۳-۱ : اندازه کریستالیت ها با روش ریتولد.....	۷۶
جدول ۴-۱ : میزان نیکل موجود در نمونه های سری a.....	۷۸
جدول ۴-۲ : لبه جذب نمونه های سری a با توجه به منحنی لبه جذب شکل ۲۰-۴	۹۱
جدول ۴-۳ : مقایسه گپ انرژی نمونه های سری a با فرمول تاک	۹۴
جدول ۴-۴ : اندازه کریستالیت ها در فرآیند دوم با روش ریتولد.....	۱۰۲
جدول ۴-۵ : میزان نیکل موجود در نمونه های سری b.....	۱۰۴
جدول ۴-۶ : لبه جذب نمونه های سری b با توجه به منحنی لبه جذب شکل ۴۴-۴	۱۱۶
جدول ۴-۷ : مقایسه گپ انرژی نمونه های سری b	۱۱۸

فهرست شکل‌ها

عنوان	صفحه
شکل ۱-۱: تقسیم بندی انواع نانومواد	۱۲
شکل ۱-۲: الگوی پراش اشعه X مربوط به پودرهای آسیاب شده (الف) و تکلیس شده در دمای ۵۰۰ درجه سانتیگراد به مدت یک ساعت (ب) برای تولید نانوذرات اکسیدایندیم به روش آسیاب مکانیکی-شیمیایی	۱۸
شکل ۲-۱: الگوی پراش اشعه X مربوط به پودرهای آسیاب شده (الف) و تکلیس شده به مدت یک ساعت در دمای ۵۰۰(b)، ۶۰۰(c) و ۸۰۰(d) برای تولید نانوذرات اکسیدکروم	۱۸
شکل ۲-۲: تصویر TEM نانوذرات اکسیدکروم تولیدی به روش آسیاب مکانیکی-شیمیایی	۱۹
شکل ۴-۲: متوسط اندازه ذرات به دست آمده از آنالیزهای XRD,BET بر حسب زمان آسیاب در فرآیند تولید نانوذرات قلع	۲۱
شکل ۵-۲: فلوچارت فرآیند آسیاب مکانیکی	۲۱
شکل ۶-۲: منحنی سرعت آسیاب-سایز ذرات	۲۲
شکل ۷-۲: تصویر TEM نانوذرات CoFe ₂ O ₄ تولیدی پس از ۶۴ ساعت آسیاب با سرعت (الف) 300rpm و (ب) 200rpm	۲۳
شکل ۸-۲: تغییر اندازه کریستالی نانوذرات In ₂ O ₃ بر حسب دمای تکلیس	۲۴
شکل ۹-۲: میزان جذب نیتروژن در مخلوط Ti-Al بر حسب زمان آسیاب کاری	۲۷
شکل ۱۰-۲: تصویری از یک نمونه محفظه مجهز به دستکش به منظور کاهش آلدگی ناشی از هوا اطراف	۲۸
شکل ۱۱-۲: تصویر TEM نانو ذرات نیکل	۳۲
شکل ۱۲-۲: تصویر TEM نانو ذرات CeO ₂	۳۳
شکل ۱۳-۲: سایز نانو ذرات CeO ₂ به عنوان تابعی از دمای عملیات حرارتی	۳۴
شکل ۱۴-۲: طیف نانو ذرات ZnO سوسپانسیون آبی (0.01 wt%, 10 mm optical path length)	۳۴
شکل ۱۵-۲: (الف) ساختار بلوری اکسید نیکل بر اساس چیدمان الگویی در جهت [۰۰۱][۰۰۱]NiO نانوذرات سنتز شده	۳۶
شکل ۱۶-۲: نمودار انرژی بر حسب دما	۳۹
شکل ۱۷-۲: طرحواره ای از سنتز با روش نمک مذاب	۴۱

..... شکل ۱۸-۲: تصویر TEM نانوذرات اکسید نیکل سنتر شده به روش سونوشیمی ۴۴
..... شکل ۱۹-۲: تاثیر زمان آسیاب کاری روی سایز نانوکریستالهای ZnO برای نمونه با نسبت مولی NaCl/ZnCl ₂ برابر با ۸ و عملیات حرارتی شده به مدت ۲ ساعت در دمای ۶۰۰°C ۴۶
..... شکل ۲۰-۲: تاثیر دمای عملیات حرارتی روی سایز نانو کریستال برای نمونه با نسبت مولی NaCl/ZnCl ₂ برابر با ۸ و زمان آسیاب به مدت ۶ ساعت ۴۷
..... شکل ۲۱-۲: عبور uv از نانو کامپوزیت اتانول/ZnO شامل (1X10 ⁻³ M) نانو ذرهی ZnO ۴۸
..... شکل ۲۲-۲: جذب uv از نانو کامپوزیت اتانول/ZnO شامل (1X10 ⁻³ M) نانو ذرهی ZnO ۴۹
..... شکل ۲۳-۲: روش به دست آوردن گاف انرژی (نقطه برخورد) ۵۰
..... شکل ۲۴-۲: منحنی جذب نانوذرات اکسید روی در دماهای آنیل مختلف ۵۲
..... شکل ۲۵-۲: XRD نمونه های ۶۵۰ a)ZnO 350, b)Cu-ZnO 350, c)Cu-ZnO 650 ۵۳
..... شکل ۲۶-۲: منحنی جذب نمونه ها (ZnO 350, Cu-ZnO 350, Cu-ZnO 650) ۵۳
..... شکل ۲۷-۲: الگوی XRD نمونه ها در سرعت آسیاب ۵۰۰rpm (a) قبل از عملیات مکانوشیمیایی (b) ۶۰ دقیقه عملیات مکانوشیمیایی شده (c) ۱۲۰ دقیقه عملیات مکانوشیمیایی شده (d) ۶۰۰ دقیقه عملیات مکانوشیمیایی شده ۵۵
..... شکل ۲۸-۲: الگوی XRD نمونه ها در سرعت ۵۰۰rpma (b) ۶۰۰ دقیقه عملیات مکانوشیمیایی شده (a) ۶۰۰ دقیقه عملیات مکانوشیمیایی شده و گرما داده شده تا ۲۰۰ درجه سانتیگراد ۵۵
..... شکل ۲۹-۲: الگوی XRD نمونه ها در سرعت آسیاب ۱۰۰۰rpma (b) قبل از عملیات مکانوشیمیایی (c) ۳۰ دقیقه عملیات مکانوشیمیایی (d) ۶۰ دقیقه عملیات مکانوشیمیایی (e) ۹۰ دقیقه عملیات مکانوشیمیایی (f) ۱۲۰ دقیقه عملیات مکانوشیمیایی و بعد عملیات حرارتی در دمای ۲۰۰ درجه سانتیگراد ۵۶
..... شکل ۳۰-۲: الگوی XRD پودرهای آسیاب شده به مدت ۱۰ ساعت a) آسیاب شده (b) آسیاب و عملیات حرارتی شده (c) آسیاب شده و عملیات حرارتی و شسته شده (d) آسیاب و شسته شده ۵۷
..... شکل ۳۱-۲: سایز کریستالیت های نمونه "شسته شده" و "عملیات حرارتی و شسته شده" نانوذرات ZnO آسیاب شده برای زمان های مختلف ۵۸
..... شکل ۳۲-۲: a) منحنی تاک جذب uv نانوذرات ZnO آسیاب شده به مدت ۱۰ ساعت b) انرژی گپ "شسته شده" و "عملیات حرارتی و شسته شده" آسیاب شده برای زمان های مختلف ۵۸
..... شکل ۳۳-۲: تصاویر TEM نمونه ZnO روش تک مرحله ای، a) بزرگنمایی کم و b) بزرگنمایی زیاد ۵۹
..... شکل ۱-۳: آسیاب گلهای پرانرژی جهت آسیاب نمونه ها ۶۱

شكل ۱-۴: XRD نمونه های سری a (نمونه های روش اول در زمان های آسیاب ۱/۲ و ۱ و ۳ و ۶ ساعت) درست پس از آسیاب.....	۶۹
شكل ۲-۴: XRD نمونه های سری a (نمونه های روش اول در زمان های آسیاب ۱/۲ و ۱ و ۳ و ۶ ساعت) پس از شستن با آب دیونیزه و خشک کردن.....	۷۰
شكل ۳-۴: مقایسه بین طیف های XRD نمونه a4 و w4 (نمونه های روش اول در زمان آسیاب ۶ ساعت به ترتیب a4 قبل از شستشو و w4 بعد از شستشو).....	۷۱
شكل ۴-۴: XRD نمونه های سری a (نمونه های روش اول پس از آسیاب در زمان های ۱/۲ و ۱ و ۳ و ۶ ساعت و پس از عملیات حرارتی).....	۷۲
شكل ۵-۴: الگوی XRD نمونه a1 (نمونه روش اول پس از آسیاب در زمان ۱/۲ ساعت و عملیات حرارتی و شستشو).....	۷۳
شكل ۶-۴: الگوی XRD نمونه a2 (نمونه روش اول پس از آسیاب در زمان ۱ ساعت و عملیات حرارتی و شستشو).....	۷۳
شكل ۷-۴: الگوی XRD نمونه a3 (نمونه روش اول پس از آسیاب در زمان ۳ ساعت و عملیات حرارتی و شستشو).....	۷۴
شكل ۸-۴: الگوی XRD نمونه a4 (نمونه روش اول پس از آسیاب در زمان ۱/۲ و ۱ و ۳ و ۶ ساعت و عملیات حرارتی و شستشو).....	۷۴
شكل ۹-۴: XRD نمونه های سری a (نمونه های روش اول پس از آسیاب در زمان های ۱/۲ و ۱ و ۳ و ۶ ساعت و عملیات حرارتی و شستشو).....	۷۵
شكل ۱۰-۴: مقایسه الگوی XRD نمونه a4 (نمونه روش اول با زمان آسیاب ۶ ساعت) در ترتیب انجام عملیات حرارتی و شستشو.....	۷۷
شكل ۱۱-۴: STA نمونه w4 (نمونه روش اول پس از آسیاب در زمان ۶ ساعت و شستشو).....	۷۹
شكل ۱۲-۴: آنالیز FT_IR نمونه ترکیب مواد اولیه NiCl ₂ و NaCl و Na ₂ CO ₃ قبل از آسیاب.....	۸۰
شكل ۱۳-۴: آنالیز FT_IR نمونه a1 (نمونه رو ش اول پس از آسیاب در زمان ۱/۲ ساعت).....	۸۱
شكل ۱۴-۴: آنالیز FT_IR نمونه a2 (نمونه رو ش اول پس از آسیاب در زمان ۱ ساعت).....	۸۱
شكل ۱۵-۴: آنالیز FT_IR نمونه a3 (نمونه رو ش اول پس از آسیاب در زمان ۳ ساعت).....	۸۲
شكل ۱۶-۴: آنالیز FT_IR نمونه a4 (نمونه رو ش اول پس از آسیاب در زمان ۶ ساعت).....	۸۲
شكل ۱۷-۴: مقایسه بین آنالیز FT_IR نمونه a1 و a2 و a3 و a4 (نمونه های روش اول پس از آسیاب در زمان های به ترتیب ۱/۲ و ۱ و ۳ و ۶ ساعت).....	۸۳
شكل ۱۸-۴: آنالیز FT_IR نمونه w1 (نمونه رو ش اول پس از آسیاب در زمان ۱/۲ و شستشو).....	۸۴
شكل ۱۹-۴: آنالیز FT_IR نمونه w2 (نمونه رو ش اول پس از آسیاب در زمان ۱ ساعت و شستشو).....	۸۵
شكل ۲۰-۴: آنالیز FT_IR نمونه w3 (نمونه رو ش اول پس از آسیاب در زمان ۳ ساعت و شستشو).....	۸۵

شکل ۲۱-۴: آنالیز IR نمونه W4 (نمونه روش اول پس از آسیاب در زمان ۶ ساعت و شستشو).....	۸۶
شکل ۲۲-۴: مقایسه آنالیز IR نمونه های W1, W2, W3, W4 (نمونه های روش اول پس از آسیاب در زمان های به ترتیب ۶ و ۳ و ۱ و ۱/۲ ساعت و شستشو).....	۸۶
شکل ۲۳-۴: تصاویر SEM نمونه W4 (نمونه روش اول پس از آسیاب در زمان ۶ ساعت و شستشو) در بزرگنمایی های مختلف.....	۸۷
شکل ۲۴-۴: تصاویر TEM نمونه a4 (نمونه روش اول پس از آسیاب در زمان ۶ ساعت و عملیات حرارتی و شستشو) در بزرگنمایی های مختلف.....	۸۸
شکل ۲۵-۴: نمودار آنالیز شیمیایی نمونه a4 (نمونه روش اول پس از آسیاب در زمان ۶ ساعت و عملیات حرارتی و شستشو).....	۸۹
شکل ۲۶-۴: طیف عبور UV نمونه های سری a (نمونه های روش اول پس از آسیاب در زمان های ۱/۲ و ۱ و ۳ و ۶ ساعت و عملیات حرارتی و شستشو).....	۹۰
شکل ۲۷-۴: طیف جذب UV نمونه های سری a (نمونه های روش اول پس از آسیاب در زمان های ۱/۲ و ۱ و ۳ و ۶ ساعت و عملیات حرارتی و شستشو).....	۹۰
شکل ۲۸-۴: محاسبه انرژی باند ممنوعه نمونه های اکسید نیکل سری a (نمونه های روش اول پس از آسیاب در زمان های ۱/۲ و ۱ و ۳ و ۶ ساعت و عملیات حرارتی و شستشو) با فرمول تاک.....	۹۳
شکل ۲۹-۴: XRD نمونه های سری b (نمونه های روش دوم پس از آسیاب در زمان های ۱/۲ و ۱ و ۳ و ۶ ساعت).....	۹۵
شکل ۳۰-۴: XRD نمونه های سری b (نمونه های روش دوم پس از آسیاب در زمان های ۱/۲ و ۱ و ۳ و ۶ ساعت و شستشو).....	۹۶
شکل ۳۱-۴: مقایسه بین طیف های XRD نمونه b4 و u4 (نمونه های روش دوم پس از آسیاب در زمان ۶ ساعت و بترتیب a4 قبل از شستشو و u4 بعد از شستشو).....	۹۷
شکل ۳۲-۴: XRD نمونه های سری b (نمونه های روش دوم پس از آسیاب در زمان های ۱/۲ و ۱ و ۳ و ۶ ساعت و عملیات حرارتی).....	۹۸
شکل ۳۳-۴: XRD نمونه b1 (نمونه روش دوم پس از آسیاب در زمان ۱/۲ ساعت و عملیات حرارتی و شستشو).....	۹۹
شکل ۳۴-۴: XRD نمونه b2 (نمونه روش دوم پس از آسیاب در زمان ۱ ساعت و عملیات حرارتی و شستشو).....	۹۹
شکل ۳۵-۴: XRD نمونه b3 (نمونه روش دوم پس از آسیاب در زمان ۳ ساعت و عملیات حرارتی و شستشو).....	۱۰۰

فصل ۱ - مقدمه

۱-۱ پیشگفتار

از دهه ۱۹۲۰ دانشمندان دریافتند که خواص مواد نظیر استحکام و قابلیت هدایت الکتریکی توسط ساختار اتمی و مولکولی آن‌ها تعیین می‌شود. بعدها دانش فوق منجر به ساخت مواد نیمه هادی شد که پایه واساس صنعت الکترونیک کنونی است. در سالهای اخیر و با ابداع ابزار فناوری نانو، علم مواد به نقطه‌ای رسیده است که توسط آن می‌توان ارتباط بین ساختار مواد و خواص آن‌ها را توصیف کرد.

منظور از یک ماده نانوساختار، جامدی است که کریستال‌های تشکیل دهنده آن در مقیاس نانومتر قرار داشته باشد. به عبارت دیگر، این مواد از کریستال‌ها یا دانه‌های نانومتری تشکیل شده‌اند که از لحاظ ساختار اتمی، جهات کریستالوگرافی و یا ترکیب شیمیایی ممکن است با یکدیگر متفاوت باشند. معمولاً خواص این مواد متفاوت از جامداتی با ساختار میکرومتری است. اندازه دانه‌های ریزتر معمولاً منجر به استحکام مکانیکی بهتر می‌شود. گاهی ممکن است دانه‌های کریستال در محدوده نانومتر نباشند ولی فازهای ثانویه ای با ابعاد نانومتر در داخل جسم پراکنده شوند و خواص ماده را به شدت تحت تاثیر قرار دهند. برای نمونه در اثر پخش شدن ذرات کربید سیلیسیم با ابعاد ۱۰ نانومتر در داخل آلومینیم می‌توان استحکام مکانیکی را به شدت افزایش داد. این مواد که با نام نانوکامپوزیت شناخته می‌شوند دارای استحکام ویژه (نسبت استحکام به وزن) بالایی هستند و در صنایع هواپما و حمل و نقل مصرف می‌شوند.

برای تعریف مواد نانوساختار می‌توان از ابعاد هندسی جسم نیز کمک گرفت. در صورتی که ماده مورد نظر در سه بعد در مقیاس نانو قرار داشته باشد معمولاً از لفظ نانوذره استفاده می‌شود. این ذرات به دلیل نسبت سطح به حجم بالا، فعالیت سطحی زیادی دارند و در پزشکی و داروسازی، دارورسانی، محافظت کننده‌ها، روانسازها، لوازم آرایشی و بهداشتی و کاتالیزورها مصرف می‌شوند. نانومیله‌ها و نانولوله‌ها مواد جامدی هستند که در دو بعد در مقیاس نانومتری می‌باشند و در مقایسه با ویسکرها و لوله‌هایی با قطر میکرومتری، خواص مکانیکی-فیزیکی بهتری از خود نشان می‌دهند. استفاده از پوشش‌های نانومتری نیز مزایای فراوانی دارد. این مواد که فقط در یک بعد در مقیاس نانومتر هستند، مقاومت سایشی بسیار خوبی از خود نشان می‌دهند. همچنین لایه‌های نانومتری مغناطیسی به دلیل اثر ابعاد بر حوزه‌های مغناطیسی، رفتار متفاوتی را نسبت به مغناطیسی‌های حجیمانز خود نشان می‌دهند. همچنین لایه‌های نانومتری مغناطیسی به دلیل اثر ابعاد بر حوزه